

## جهش‌های شایع ژن بتا-گلوبین در بخش مرکزی استان آذربایجان شرقی

دکتر سید مجتبی محدث اردبیلی: استادیار ژنتیک پزشکی، دانشگاه علوم پزشکی تبریز؛ نویسنده رابط  
سیامک جبارزاده تبریزی: کارشناس ارشد بیوشیمی بالینی، مرکز تحقیقات کاربردی دارویی دانشگاه علوم پزشکی تبریز  
دکتر علیرضا نیکانفر: استادیار گروه هماتولوژی دانشگاه علوم پزشکی تبریز  
دکتر محمد رهبانی نوبر: استاد بیوشیمی بالینی دانشکده پزشکی و مرکز تحقیقات کاربردی دارویی دانشگاه علوم پزشکی تبریز

### چکیده

**زمینه و اهداف:** بتا-تالاسمی یکی از شایع‌ترین ناهنجاری‌های وراثتی هموگلوبین در منطقه و یکی از مشکلات عمدۀ موجود بر سر راه بهداشت و سلامت جمعیت ایران محسوب می‌شود. حدود ۱۰ الی ۱۵ هزار بیمار مبتلا به بتا-تالاسمی و بیش از ۲/۵ میلیون نفر به عنوان ناقل بیماری شناخته شده اند. احتمال تولد نوزاد مبتلا در هر زایمان مادران ایرانی به طور متوسط ۰/۳۳ درصد محسوب شده است. هدف از این مطالعه شناسایی انواع جهش‌های شایع در استان آذربایجان شرقی و فراهم آوردن امکان تشخیص مولکولی بیماری برای افراد در معرض خطر دراین منطقه بود.

**روش بررسی:** این مطالعه بر روی بیش از ۸۰ ناقل یا مبتلا (بیش از ۱۵۰ کروموزوم) و در میان ۳۷ خانواده مجزا انجام شد. از میان ۱۲ نوع آلل موتانت رایج در منطقه مدیترانه، ۶ نوع که محتمل تر می‌رسید، انتخاب شدند و در DNA‌های استخراج شده از افراد مورد نظر با به کار گیری دو روش مختلف واکنش زنجیره‌ای پلیمراز چند گانه<sup>۱</sup> با الکتروفورز روز ۷ آکارز و لکه گذاری نقطه‌ای معکوس<sup>۲</sup> مورد مطالعه قرار گرفتند.

**یافته‌ها:** مطالعه حاضر نشان داد که جهش-۱ IVS II-۱ با فراوانی ۲۲٪ بیشترین میزان شیوع را به خود اختصاص می‌دهد. فراوانی ۵ آلل دیگر به شرح زیر است: ۱ (G→A) ۲۲/۶۷ درصد، ۱۶ IVSI- ۱۱۰(G→A) درصد، ۳۰ (C→G) درصد و ۵۰/۳۴ (G→C) درصد. ۵ ۲/۶ IVS I- درصد.

**نتیجه گیری:** نتایج به دست آمده نشان می‌دهد که الگوی پراکنش آلل‌های موتانت تبریز و حومه آن با سایر نواحی کشور تا حدودی متفاوت است. در عین حال، با فراوانی‌های گزارش شده برای جمعیت ایرانی مقیم آمریکا مطابقت دارد. همچنین این مطالعه نشان داد که روش لکه گذاری نقطه‌ای معکوس در مقایسه با روش واکنش زنجیره‌ای پلیمراز چند گانه معمول سریع‌تر و دقیق‌تر است.

**کلید واژه‌ها:** بتا-تالاسمی، واکنش زنجیره‌ای پلیمراز چند گانه، لکه گذاری نقطه‌ای معکوس، الگوی پراکندگی جهش‌ها

### مقدمه

قبل از ازدواج درکشور خصوصاً در کم‌خونی‌های مزمن مشکوک گامی بسیار مهم تلقی می‌شود، ولی از آن جا که این افراد علی‌رغم اگاهی از ناقل بودن خود دست به ازدواج می‌زنند و حتی بجه دار هم می‌شوند، چنین به نظر می‌رسد که صرفاً اجرای شدن مشاوره ژنتیکی قبل از ازدواج نمی‌تواند در پیشگیری از بروز موارد جدید بیماری کارساز باشد. تعیین الگوی پراکندگی آلل‌ها کمک ارزش‌های برای تشخیص سریع و تعیین نوع جهش احتمالی در جنین می‌کند.

روشهای مطالعه DNA جهت تشخیص بیش از تولد اولین بار بر روی DNA سلولهای مایع آمنیوتیک انجام شد. آلفا تالاسمی، کم‌خونی داسی شکل و بتا-تالاسمی در ۱۹۷۶ با استفاده از آمنیوستیت‌های کشت شده تشخیص داده شدند. در ۱۹۸۲ ملاحظه شد که نمونه پرزویت‌های ژنی<sup>۳</sup> منابع مناسب‌تری برای تهیه DNA لازم جهت مطالعه مولکولی هستند. این روش مورد اقبال بیشتری قرار گرفت، زیرا انجام آن در هفته‌های ۹-۱۱ حاملگی میسر بود و قطع حاملگی با این‌نی بیشتر و فشار روحی کمتری انجام می‌پذیرفت<sup>(۳)</sup>.

بیماری تالاسمی گروهی ناهمگون از اختلالات ارثی را شامل می‌شود که وجه مشترک آنها فقدان یا کاهش ستنتر یک یا چند زنجیره پلی پیتیدی تشکیل دهنده هموگلوبین است. تالاسمی ساختار ژنتیکی غیر یکنواختی دارد، به طوری که در مورد بتا-تالاسمی که زنجیره β دچار نقص می‌شود، بیش از ۹۰ نوع جهش شناخته شده است<sup>(۱)</sup>.

بتا-تالاسمی یکی از شایع‌ترین ناهنجاری‌های وراثتی هموگلوبین از مدیترانه و خاورمیانه تا هند و خاور دور است و مشکل عمدۀ بهداشت و سلامت ایرانیان محسوب می‌شود. بتا-تالاسمی بیماری وراثتی مزمن و کشنده است. نوزادان مبتلا بعد از تولد در بستر خانواده رشد می‌یابند و گاه به سینین بلوغ می‌رسند، ولی به تدریج با ظهور عوارض متعدد و وخیم تر شدن بیماری متأسفانه فوت می‌شوند. احتمال تولد نوزاد مبتلا به بتا-تالاسمی در ایران، به طور متوسط، یک مورد در ۳۰۰ زایمان تخمین زده می‌شود که تقریباً ۳ برابر بیشتر از بالاترین فراوانی در بیماری‌های وراثتی، یعنی سندروم داون، با شیوع حدکثر ۱/۱۰۰۰ در هر تولد است<sup>(۲)</sup>. اجرای شدن غربالگری این بیماری

مبتلادر منطقه شمال غرب کشور (آذربایجان شرقی و استان همچووار) تعیین شد. نتایج به دست آمده نشان می دهد که الگوی پراکنش آل های موتانت در این منطقه با فراوانی آن در سایر مناطق کشور متفاوت است. در عین حال، با فراوانی های گزارش شده برای جمعیت ایرانی مقیم آمریکا مطابقت دارد. همچنین این مطالعه نشان داد که روش لکه گذاری نقطه ای معکوس در مقایسه با روش واکنش زنجیره ای پلیمراز معمول روش سریع تر و دقیق تری است.

## مواد و روش ها

نمونه گیری از بیمارانی که در سالین ۸ هفتگی تا ۱۴ سالگی قرار داشتند، انجام گرفت. توزیع جغرافیایی نمونه ها محدود به مرکز استان آذربایجان شرقی، روستاهای و شهرهای همچووار و برخی از استانهای اطراف بود.

حدود ۱۰ میلی لیتر نمونه خون محیطی از هر یک از ۸۰ فرد ناقل یا مبتلا به بیماری بتا- تالاسمی که از ۳۷ خانواده مختلف بودند، تهیه و در لوله های سریچ ۲۰۰ میکرولیتر محلول EDTA (Merck) نیم مولار جمع آوری شد. نمونه ها تا زمان استخراج از گلوبول های سفید در یخچال نگهداری شدند.

استخراج و تخلیص DNA ژنومی از نمونه های خون به روش فنل، کلروفرم و پروتیناز K (Boehringer Manheim GmbH) انجام شد. پس از رساندن دمای نمونه ها به ۳۷ درجه سانتیگراد، با ۳۰ میلی لیتر بافر لیز<sup>۱</sup> مخلوط و سانتریفیوژ گردید. بعد از تکرار مجدد مرحله فوق، رسوب حاصل در ۱۰ میلی لیتر بافر SE به همراه SDS (Merck) و ۱۰۰ میکرولیتر از محلول ۲۰ میلی گرم در ۱۰ درصد frame shift ۸/۹ (G→C) : ٪۲۵/۹ ، frame shift ۸/۹ (G→T) : ٪۴/۲ ، IVSI - ۱ (G→T) : ٪۵/۴ ، IVSI - ۵ (G→A) : ٪۶/۷ ، IVSI - ۱ (G→A) : ٪۴/۱ ، IVSI - ۱ (G→T) : ٪۴/۱۲ ، IVSI - ۱ (G→A) : ٪۲/۷ ، IVSI - ۱ (G→T) : ٪۴/۱۳ ، IVSI - ۱ (G→A) : ٪۲/۲ ، IVSI - ۵ (G→A) : ٪۵/۵ . شیوع بیشتری دارد. درصد فراوانی در کل پاکستان به صورت زیر محاسبه شده بود:

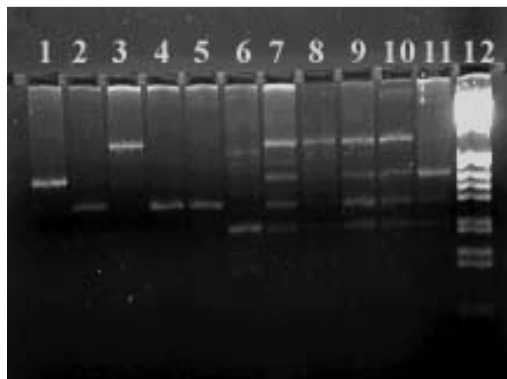
توالی های مورد نظر در هر یک از نمونه های DNA استخراج شد. ابتدا با استفاده از روش PCR چندگانه و به کارگیری پرایمرهای طبیعی و موتانت برای هر یک از انواع جهش های مورد مطالعه طی واکنش های مجزا تکمیر شدند. توالی هایی از ژن بتا - گلوبین که به عنوان الگو مورد استفاده قرار گرفته عبارتند از:

IVS II - ۱: (G→A); IVSI - ۱: (G→A); frameshift ۸/۹: (+ G); IVSI - ۱: (G→A); IVS1 - ۵: (G→C); Codon<sup>۰</sup>: (G→C) توالی نوکلئوتیدی پرایمرهای طبیعی و موتانت مورد استفاده در این مطالعه با نتایج قبلی سایر محققین مطابقت دارد<sup>(۷)</sup>. مخلوط هر یک از واکنش های PCR به شرح ذیل تهیه شد: ۵ پیکو مول از هر یک از پرایمرهای ۰/۳ واحد آنزیم Taq DNA (Boehringer Manheim,GmbH) میکرومول از هر یک از dNTPs (Boehringer Manheim,GmbH) با غلاظت ۱۰ میلی مول و pH = ۸/۳ ، KCL با غلاظت ۵ میلی مول، ۲ MgCl<sub>2</sub> با غلاظت ۱/۵ میلی مولارو نهایتاً ۰/۵ - ۰/۳ میکروگرم از DNA ژنومی به عنوان الگو. حجم نهایی واکنش با استفاده از آب مقطر دو بار تقطیر، به ۵۰ میکرولیتر رسانده شد. بعد از قرار دادن مخلوط واکنش در دمای ۹۳ درجه سانتیگراد به مدت ۳ دقیقه (دمای دناتوره شدن DNA الگو) و ۲۵ دور واکنش PCR طی

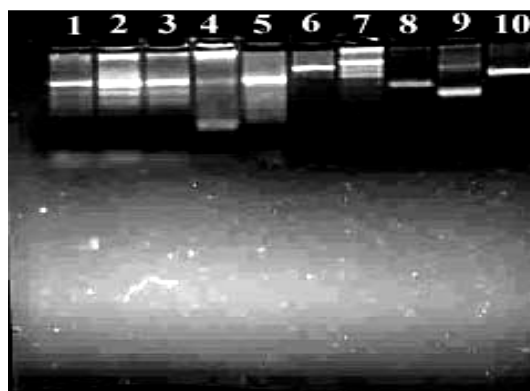
به طور کلی، مبتلایان تالاسمی با شیوع بالا در کمریند مدیترانه ای از خاورمیانه گرفته تا هند و برصغیر آسیا و آسیای جنوب شرقی پراکنده شده اند. بالاترین تراکم ژن آلفا- تالاسمی در جنوب شرقی آسیا و سواحل غرب آفریقا گزارش شده است. ٪۵۰ جمعیت در عربستان سعودی یکی از اشکال خاموش آلفا - تالاسمی را دارا هستند. در سیاه پوستان آمریکا آلفا- تالاسمی نسبتاً شایع است ولی ظاهر بالینی ندارد. (۱ و ۴). در مورد بتا- تالاسمی، بیشترین شیوع در ساکنین ایتالیا و یونان ملاحظه شده است. بتا- تالاسمی، با شیوع کمتر، در نواحی غربی و شمال آفریقا، ترکیه، ایران سوریه، عربستان سعودی، هند و پاکستان دیده می شود. بتا- تالاسمی، به طور تک گیر و آندمیک در کلیه نژادهای موجود در چین دیده می شود ولی جمعیتی مشخص با فراوانی بالا شناسایی نشده است (۴ و ۵). در مطالعه ای که «احمد صاحب» و همکارانش (۴) با همکاری کالج دانشگاه لندن در پاکستان انجام دادند، از روش PCR چندگانه مشابه روش به کار رفته در این تحقیق استفاده شده است. مطالعه فوق بروی ۱۳ جفت از آلل شایع در پاکستان با استفاده از آغازگرهای موتانت نشان داد که توزیع فراوانی انواع جهش ها در استانهای مختلف پاکستان الگوی متفاوتی دارد: در شمال پاکستان frame shift با فراوانی ۴۱/۳ درصد شایع ترین جهش است، ولی در جنوب این کشور ۵- IVSI در فراوانی ۲/۲ با شیوع بیشتری دارد. درصد فراوانی در کل پاکستان به صورت زیر محاسبه شده

IVSI - ۵ (G→C) : ٪۳۱/۳ ، frame shift ۸/۹ (G→T) : ٪۲۵/۹ ، IVSI - ۱ (G→T) : ٪۴/۲ ، IVSI - ۱ (G→A) : ٪۶/۷ ، IVSI - ۱ (G→T) : ٪۴/۱۲ ، IVSI - ۱ (G→A) : ٪۴/۱۳ ، IVSI - ۱ (G→T) : ٪۴/۱۴ ، IVSI - ۱ (G→A) : ٪۴/۱۵ ، IVSI - ۱ (G→T) : ٪۴/۱۶ ، IVSI - ۱ (G→A) : ٪۴/۱۷ ، IVSI - ۱ (G→T) : ٪۴/۱۸ ، IVSI - ۱ (G→A) : ٪۴/۱۹ ، IVSI - ۱ (G→T) : ٪۴/۲۰ ، IVSI - ۱ (G→A) : ٪۴/۲۱ ، IVSI - ۱ (G→T) : ٪۴/۲۲ ، IVSI - ۱ (G→A) : ٪۴/۲۳ ، IVSI - ۱ (G→T) : ٪۴/۲۴ ، IVSI - ۱ (G→A) : ٪۴/۲۵ ، IVSI - ۱ (G→T) : ٪۴/۲۶ ، IVSI - ۱ (G→A) : ٪۴/۲۷ ، IVSI - ۱ (G→T) : ٪۴/۲۸ ، IVSI - ۱ (G→A) : ٪۴/۲۹ ، IVSI - ۱ (G→T) : ٪۴/۳۰ ، IVSI - ۱ (G→A) : ٪۴/۳۱ ، IVSI - ۱ (G→T) : ٪۴/۳۲ ، IVSI - ۱ (G→A) : ٪۴/۳۳ ، IVSI - ۱ (G→T) : ٪۴/۳۴ ، IVSI - ۱ (G→A) : ٪۴/۳۵ ، IVSI - ۱ (G→T) : ٪۴/۳۶ ، IVSI - ۱ (G→A) : ٪۴/۳۷ ، IVSI - ۱ (G→T) : ٪۴/۳۸ ، IVSI - ۱ (G→A) : ٪۴/۳۹ ، IVSI - ۱ (G→T) : ٪۴/۴۰ ، IVSI - ۱ (G→A) : ٪۴/۴۱ ، IVSI - ۱ (G→T) : ٪۴/۴۲ ، IVSI - ۱ (G→A) : ٪۴/۴۳ ، IVSI - ۱ (G→T) : ٪۴/۴۴ ، IVSI - ۱ (G→A) : ٪۴/۴۵ ، IVSI - ۱ (G→T) : ٪۴/۴۶ ، IVSI - ۱ (G→A) : ٪۴/۴۷ ، IVSI - ۱ (G→T) : ٪۴/۴۸ ، IVSI - ۱ (G→A) : ٪۴/۴۹ ، IVSI - ۱ (G→T) : ٪۴/۵۰ ، IVSI - ۱ (G→A) : ٪۴/۵۱ ، IVSI - ۱ (G→T) : ٪۴/۵۲ ، IVSI - ۱ (G→A) : ٪۴/۵۳ ، IVSI - ۱ (G→T) : ٪۴/۵۴ ، IVSI - ۱ (G→A) : ٪۴/۵۵ ، IVSI - ۱ (G→T) : ٪۴/۵۶ ، IVSI - ۱ (G→A) : ٪۴/۵۷ ، IVSI - ۱ (G→T) : ٪۴/۵۸ ، IVSI - ۱ (G→A) : ٪۴/۵۹ ، IVSI - ۱ (G→T) : ٪۴/۶۰ ، IVSI - ۱ (G→A) : ٪۴/۶۱ ، IVSI - ۱ (G→T) : ٪۴/۶۲ ، IVSI - ۱ (G→A) : ٪۴/۶۳ ، IVSI - ۱ (G→T) : ٪۴/۶۴ ، IVSI - ۱ (G→A) : ٪۴/۶۵ ، IVSI - ۱ (G→T) : ٪۴/۶۶ ، IVSI - ۱ (G→A) : ٪۴/۶۷ ، IVSI - ۱ (G→T) : ٪۴/۶۸ ، IVSI - ۱ (G→A) : ٪۴/۶۹ ، IVSI - ۱ (G→T) : ٪۴/۷۰ ، IVSI - ۱ (G→A) : ٪۴/۷۱ ، IVSI - ۱ (G→T) : ٪۴/۷۲ ، IVSI - ۱ (G→A) : ٪۴/۷۳ ، IVSI - ۱ (G→T) : ٪۴/۷۴ ، IVSI - ۱ (G→A) : ٪۴/۷۵ ، IVSI - ۱ (G→T) : ٪۴/۷۶ ، IVSI - ۱ (G→A) : ٪۴/۷۷ ، IVSI - ۱ (G→T) : ٪۴/۷۸ ، IVSI - ۱ (G→A) : ٪۴/۷۹ ، IVSI - ۱ (G→T) : ٪۴/۸۰ ، IVSI - ۱ (G→A) : ٪۴/۸۱ ، IVSI - ۱ (G→T) : ٪۴/۸۲ ، IVSI - ۱ (G→A) : ٪۴/۸۳ ، IVSI - ۱ (G→T) : ٪۴/۸۴ ، IVSI - ۱ (G→A) : ٪۴/۸۵ ، IVSI - ۱ (G→T) : ٪۴/۸۶ ، IVSI - ۱ (G→A) : ٪۴/۸۷ ، IVSI - ۱ (G→T) : ٪۴/۸۸ ، IVSI - ۱ (G→A) : ٪۴/۸۹ ، IVSI - ۱ (G→T) : ٪۴/۹۰ ، IVSI - ۱ (G→A) : ٪۴/۹۱ ، IVSI - ۱ (G→T) : ٪۴/۹۲ ، IVSI - ۱ (G→A) : ٪۴/۹۳ ، IVSI - ۱ (G→T) : ٪۴/۹۴ ، IVSI - ۱ (G→A) : ٪۴/۹۵ ، IVSI - ۱ (G→T) : ٪۴/۹۶ ، IVSI - ۱ (G→A) : ٪۴/۹۷ ، IVSI - ۱ (G→T) : ٪۴/۹۸ ، IVSI - ۱ (G→A) : ٪۴/۹۹ ، IVSI - ۱ (G→T) : ٪۴/۱۰۰ ، IVSI - ۱ (G→A) : ٪۴/۱۰۱ ، IVSI - ۱ (G→T) : ٪۴/۱۰۲ ، IVSI - ۱ (G→A) : ٪۴/۱۰۳ ، IVSI - ۱ (G→T) : ٪۴/۱۰۴ ، IVSI - ۱ (G→A) : ٪۴/۱۰۵ ، IVSI - ۱ (G→T) : ٪۴/۱۰۶ ، IVSI - ۱ (G→A) : ٪۴/۱۰۷ ، IVSI - ۱ (G→T) : ٪۴/۱۰۸ ، IVSI - ۱ (G→A) : ٪۴/۱۰۹ ، IVSI - ۱ (G→T) : ٪۴/۱۱۰ ، IVSI - ۱ (G→A) : ٪۴/۱۱۱ ، IVSI - ۱ (G→T) : ٪۴/۱۱۲ ، IVSI - ۱ (G→A) : ٪۴/۱۱۳ ، IVSI - ۱ (G→T) : ٪۴/۱۱۴ ، IVSI - ۱ (G→A) : ٪۴/۱۱۵ ، IVSI - ۱ (G→T) : ٪۴/۱۱۶ ، IVSI - ۱ (G→A) : ٪۴/۱۱۷ ، IVSI - ۱ (G→T) : ٪۴/۱۱۸ ، IVSI - ۱ (G→A) : ٪۴/۱۱۹ ، IVSI - ۱ (G→T) : ٪۴/۱۲۰ ، IVSI - ۱ (G→A) : ٪۴/۱۲۱ ، IVSI - ۱ (G→T) : ٪۴/۱۲۲ ، IVSI - ۱ (G→A) : ٪۴/۱۲۳ ، IVSI - ۱ (G→T) : ٪۴/۱۲۴ ، IVSI - ۱ (G→A) : ٪۴/۱۲۵ ، IVSI - ۱ (G→T) : ٪۴/۱۲۶ ، IVSI - ۱ (G→A) : ٪۴/۱۲۷ ، IVSI - ۱ (G→T) : ٪۴/۱۲۸ ، IVSI - ۱ (G→A) : ٪۴/۱۲۹ ، IVSI - ۱ (G→T) : ٪۴/۱۳۰ ، IVSI - ۱ (G→A) : ٪۴/۱۳۱ ، IVSI - ۱ (G→T) : ٪۴/۱۳۲ ، IVSI - ۱ (G→A) : ٪۴/۱۳۳ ، IVSI - ۱ (G→T) : ٪۴/۱۳۴ ، IVSI - ۱ (G→A) : ٪۴/۱۳۵ ، IVSI - ۱ (G→T) : ٪۴/۱۳۶ ، IVSI - ۱ (G→A) : ٪۴/۱۳۷ ، IVSI - ۱ (G→T) : ٪۴/۱۳۸ ، IVSI - ۱ (G→A) : ٪۴/۱۳۹ ، IVSI - ۱ (G→T) : ٪۴/۱۴۰ ، IVSI - ۱ (G→A) : ٪۴/۱۴۱ ، IVSI - ۱ (G→T) : ٪۴/۱۴۲ ، IVSI - ۱ (G→A) : ٪۴/۱۴۳ ، IVSI - ۱ (G→T) : ٪۴/۱۴۴ ، IVSI - ۱ (G→A) : ٪۴/۱۴۵ ، IVSI - ۱ (G→T) : ٪۴/۱۴۶ ، IVSI - ۱ (G→A) : ٪۴/۱۴۷ ، IVSI - ۱ (G→T) : ٪۴/۱۴۸ ، IVSI - ۱ (G→A) : ٪۴/۱۴۹ ، IVSI - ۱ (G→T) : ٪۴/۱۵۰ ، IVSI - ۱ (G→A) : ٪۴/۱۵۱ ، IVSI - ۱ (G→T) : ٪۴/۱۵۲ ، IVSI - ۱ (G→A) : ٪۴/۱۵۳ ، IVSI - ۱ (G→T) : ٪۴/۱۵۴ ، IVSI - ۱ (G→A) : ٪۴/۱۵۵ ، IVSI - ۱ (G→T) : ٪۴/۱۵۶ ، IVSI - ۱ (G→A) : ٪۴/۱۵۷ ، IVSI - ۱ (G→T) : ٪۴/۱۵۸ ، IVSI - ۱ (G→A) : ٪۴/۱۵۹ ، IVSI - ۱ (G→T) : ٪۴/۱۶۰ ، IVSI - ۱ (G→A) : ٪۴/۱۶۱ ، IVSI - ۱ (G→T) : ٪۴/۱۶۲ ، IVSI - ۱ (G→A) : ٪۴/۱۶۳ ، IVSI - ۱ (G→T) : ٪۴/۱۶۴ ، IVSI - ۱ (G→A) : ٪۴/۱۶۵ ، IVSI - ۱ (G→T) : ٪۴/۱۶۶ ، IVSI - ۱ (G→A) : ٪۴/۱۶۷ ، IVSI - ۱ (G→T) : ٪۴/۱۶۸ ، IVSI - ۱ (G→A) : ٪۴/۱۶۹ ، IVSI - ۱ (G→T) : ٪۴/۱۷۰ ، IVSI - ۱ (G→A) : ٪۴/۱۷۱ ، IVSI - ۱ (G→T) : ٪۴/۱۷۲ ، IVSI - ۱ (G→A) : ٪۴/۱۷۳ ، IVSI - ۱ (G→T) : ٪۴/۱۷۴ ، IVSI - ۱ (G→A) : ٪۴/۱۷۵ ، IVSI - ۱ (G→T) : ٪۴/۱۷۶ ، IVSI - ۱ (G→A) : ٪۴/۱۷۷ ، IVSI - ۱ (G→T) : ٪۴/۱۷۸ ، IVSI - ۱ (G→A) : ٪۴/۱۷۹ ، IVSI - ۱ (G→T) : ٪۴/۱۸۰ ، IVSI - ۱ (G→A) : ٪۴/۱۸۱ ، IVSI - ۱ (G→T) : ٪۴/۱۸۲ ، IVSI - ۱ (G→A) : ٪۴/۱۸۳ ، IVSI - ۱ (G→T) : ٪۴/۱۸۴ ، IVSI - ۱ (G→A) : ٪۴/۱۸۵ ، IVSI - ۱ (G→T) : ٪۴/۱۸۶ ، IVSI - ۱ (G→A) : ٪۴/۱۸۷ ، IVSI - ۱ (G→T) : ٪۴/۱۸۸ ، IVSI - ۱ (G→A) : ٪۴/۱۸۹ ، IVSI - ۱ (G→T) : ٪۴/۱۹۰ ، IVSI - ۱ (G→A) : ٪۴/۱۹۱ ، IVSI - ۱ (G→T) : ٪۴/۱۹۲ ، IVSI - ۱ (G→A) : ٪۴/۱۹۳ ، IVSI - ۱ (G→T) : ٪۴/۱۹۴ ، IVSI - ۱ (G→A) : ٪۴/۱۹۵ ، IVSI - ۱ (G→T) : ٪۴/۱۹۶ ، IVSI - ۱ (G→A) : ٪۴/۱۹۷ ، IVSI - ۱ (G→T) : ٪۴/۱۹۸ ، IVSI - ۱ (G→A) : ٪۴/۱۹۹ ، IVSI - ۱ (G→T) : ٪۴/۲۰۰ ، IVSI - ۱ (G→A) : ٪۴/۲۰۱ ، IVSI - ۱ (G→T) : ٪۴/۲۰۲ ، IVSI - ۱ (G→A) : ٪۴/۲۰۳ ، IVSI - ۱ (G→T) : ٪۴/۲۰۴ ، IVSI - ۱ (G→A) : ٪۴/۲۰۵ ، IVSI - ۱ (G→T) : ٪۴/۲۰۶ ، IVSI - ۱ (G→A) : ٪۴/۲۰۷ ، IVSI - ۱ (G→T) : ٪۴/۲۰۸ ، IVSI - ۱ (G→A) : ٪۴/۲۰۹ ، IVSI - ۱ (G→T) : ٪۴/۲۱۰ ، IVSI - ۱ (G→A) : ٪۴/۲۱۱ ، IVSI - ۱ (G→T) : ٪۴/۲۱۲ ، IVSI - ۱ (G→A) : ٪۴/۲۱۳ ، IVSI - ۱ (G→T) : ٪۴/۲۱۴ ، IVSI - ۱ (G→A) : ٪۴/۲۱۵ ، IVSI - ۱ (G→T) : ٪۴/۲۱۶ ، IVSI - ۱ (G→A) : ٪۴/۲۱۷ ، IVSI - ۱ (G→T) : ٪۴/۲۱۸ ، IVSI - ۱ (G→A) : ٪۴/۲۱۹ ، IVSI - ۱ (G→T) : ٪۴/۲۲۰ ، IVSI - ۱ (G→A) : ٪۴/۲۲۱ ، IVSI - ۱ (G→T) : ٪۴/۲۲۲ ، IVSI - ۱ (G→A) : ٪۴/۲۲۳ ، IVSI - ۱ (G→T) : ٪۴/۲۲۴ ، IVSI - ۱ (G→A) : ٪۴/۲۲۵ ، IVSI - ۱ (G→T) : ٪۴/۲۲۶ ، IVSI - ۱ (G→A) : ٪۴/۲۲۷ ، IVSI - ۱ (G→T) : ٪۴/۲۲۸ ، IVSI - ۱ (G→A) : ٪۴/۲۲۹ ، IVSI - ۱ (G→T) : ٪۴/۲۳۰ ، IVSI - ۱ (G→A) : ٪۴/۲۳۱ ، IVSI - ۱ (G→T) : ٪۴/۲۳۲ ، IVSI - ۱ (G→A) : ٪۴/۲۳۳ ، IVSI - ۱ (G→T) : ٪۴/۲۳۴ ، IVSI - ۱ (G→A) : ٪۴/۲۳۵ ، IVSI - ۱ (G→T) : ٪۴/۲۳۶ ، IVSI - ۱ (G→A) : ٪۴/۲۳۷ ، IVSI - ۱ (G→T) : ٪۴/۲۳۸ ، IVSI - ۱ (G→A) : ٪۴/۲۳۹ ، IVSI - ۱ (G→T) : ٪۴/۲۴۰ ، IVSI - ۱ (G→A) : ٪۴/۲۴۱ ، IVSI - ۱ (G→T) : ٪۴/۲۴۲ ، IVSI - ۱ (G→A) : ٪۴/۲۴۳ ، IVSI - ۱ (G→T) : ٪۴/۲۴۴ ، IVSI - ۱ (G→A) : ٪۴/۲۴۵ ، IVSI - ۱ (G→T) : ٪۴/۲۴۶ ، IVSI - ۱ (G→A) : ٪۴/۲۴۷ ، IVSI - ۱ (G→T) : ٪۴/۲۴۸ ، IVSI - ۱ (G→A) : ٪۴/۲۴۹ ، IVSI - ۱ (G→T) : ٪۴/۲۴۱۰ ، IVSI - ۱ (G→A) : ٪۴/۲۴۱۱ ، IVSI - ۱ (G→T) : ٪۴/۲۴۱۲ ، IVSI - ۱ (G→A) : ٪۴/۲۴۱۳ ، IVSI - ۱ (G→T) : ٪۴/۲۴۱۴ ، IVSI - ۱ (G→A) : ٪۴/۲۴۱۵ ، IVSI - ۱ (G→T) : ٪۴/۲۴۱۶ ، IVSI - ۱ (G→A) : ٪۴/۲۴۱۷ ، IVSI - ۱ (G→T) : ٪۴/۲۴۱۸ ، IVSI - ۱ (G→A) : ٪۴/۲۴۱۹ ، IVSI - ۱ (G→T) : ٪۴/۲۴۲۰ ، IVSI - ۱ (G→A) : ٪۴/۲۴۲۱ ، IVSI - ۱ (G→T) : ٪۴/۲۴۲۲ ، IVSI - ۱ (G→A) : ٪۴/۲۴۲۳ ، IVSI - ۱ (G→T) : ٪۴/۲۴۲۴ ، IVSI - ۱ (G→A) : ٪۴/۲۴۲۵ ، IVSI - ۱ (G→T) : ٪۴/۲۴۲۶ ، IVSI - ۱ (G→A) : ٪۴/۲۴۲۷ ، IVSI - ۱ (G→T) : ٪۴/۲۴۲۸ ، IVSI - ۱ (G→A) : ٪۴/۲۴۲۹ ، IVSI - ۱ (G→T) : ٪۴/۲۴۳۰ ، IVSI - ۱ (G→A) : ٪۴/۲۴۳۱ ، IVSI - ۱ (G→T) : ٪۴/۲۴۳۲ ، IVSI - ۱ (G→A) : ٪۴/۲۴۳۳ ، IVSI - ۱ (G→T) : ٪۴/۲۴۳۴ ، IVSI - ۱ (G→A) : ٪۴/۲۴۳۵ ، IVSI - ۱ (G→T) : ٪۴/۲۴۳۶ ، IVSI - ۱ (G→A) : ٪۴/۲۴۳۷ ، IVSI - ۱ (G→T) : ٪۴/۲۴۳۸ ، IVSI - ۱ (G→A) : ٪۴/۲۴۳۹ ، IVSI - ۱ (G→T) : ٪۴/۲۴۳۱۰ ، IVSI - ۱ (G→A) : ٪۴/۲۴۳۱۱ ، IVSI - ۱ (G→T) : ٪۴/۲۴۳۱۲ ، IVSI - ۱ (G→A) : ٪۴/۲۴۳۱۳ ، IVSI - ۱ (G→T) : ٪۴/۲۴۳۱۴ ، IVSI - ۱ (G→A) : ٪۴/۲۴۳۱۵ ، IVSI - ۱ (G→T) : ٪۴/۲۴۳۱۶ ، IVSI - ۱ (G→A) : ٪۴/۲۴۳۱۷ ، IVSI - ۱ (G→T) : ٪۴/۲۴۳۱۸ ، IVSI - ۱ (G→A) : ٪۴/۲۴۳۱۹ ، IVSI - ۱ (G→T) : ٪۴/۲۴۳۲۰ ، IVSI - ۱ (G→A) : ٪۴/۲۴۳۲۱ ، IVSI - ۱ (G→T) : ٪۴/۲۴۳۲۲ ، IVSI - ۱ (G→A) : ٪۴/۲۴۳۲۳ ، IVSI - ۱ (G→T) : ٪۴/۲۴۳۲۴ ، IVSI - ۱ (G→A) : ٪۴/۲۴۳۲۵ ، IVSI - ۱ (G→T) : ٪۴/۲۴۳۲۶ ، IVSI - ۱ (G→A) : ٪۴/۲۴۳۲۷ ، IVSI - ۱ (G→T) : ٪۴/۲۴۳۲۸ ، IVSI - ۱ (G→A) : ٪۴/۲۴۳۲۹ ، IVSI - ۱ (G→T) : ٪۴/۲۴۳۳۰ ، IVSI - ۱ (G→A) : ٪۴/۲۴۳۳۱ ، IVSI - ۱ (G→T) : ٪۴/۲۴۳۳۲ ، IVSI - ۱ (G→A) : ٪۴/۲۴۳۳۳ ، IVSI - ۱ (G→T) : ٪۴/۲۴۳۳۴ ، IVSI - ۱ (G→A) : ٪۴/۲۴۳۳۵ ، IVSI - ۱ (G→T) : ٪۴/۲۴۳۳۶ ، IVSI - ۱ (G→A) : ٪۴/۲۴۳۳۷ ، IVSI - ۱ (G→T) : ٪۴/۲۴۳۳۸ ، IVSI - ۱ (G→A) : ٪۴/۲۴۳۳۹ ، IVSI - ۱ (G→T) : ٪۴/۲۴۳۴۰ ، IVSI - ۱ (G→A) : ٪۴/۲۴۳۴۱ ، IVSI - ۱ (G→T) : ٪۴/۲۴۳۴۲ ، IVSI - ۱ (G→A) : ٪۴/۲۴۳۴۳ ، IVSI - ۱ (G→T) : ٪۴/۲۴۳۴۴ ، IVSI - ۱ (G→A) : ٪۴/۲۴۳۴۵ ، IVSI - ۱ (G→T) : ٪۴/۲۴۳۴۶ ، IVSI - ۱ (G→A) : ٪۴/۲۴۳۴۷ ، IVSI - ۱ (G→T) : ٪۴/۲۴۳۴۸ ، IVSI - ۱ (G→A) : ٪۴/۲۴۳۴۹ ، IVSI - ۱ (G→T) : ٪۴/۲۴۳۵۰ ، IVSI - ۱ (G→A) : ٪۴/۲۴۳۵۱ ، IVSI - ۱ (G→T) : ٪۴/۲۴۳۵۲ ، IVSI - ۱ (G→A) : ٪۴/۲۴۳۵۳ ، IVSI - ۱ (G→T) : ٪۴/۲۴۳۵۴ ، IVSI - ۱ (G→A) : ٪۴/۲۴۳۵۵ ، IVSI - ۱ (G→T) : ٪۴/۲۴۳۵۶ ، IVSI - ۱ (G→A) : ٪۴/۲۴۳۵۷ ، IVSI - ۱ (G→T) : ٪۴/۲۴۳۵۸ ، IVSI - ۱ (G→A) : ٪۴/۲۴۳۵۹ ، IVSI - ۱ (G→T) : ٪۴/۲۴۳۶۰ ، IVSI - ۱ (G→A) : ٪۴/۲۴۳۶۱ ، IVSI - ۱ (G→T) : ٪۴/۲۴۳۶۲ ، IVSI - ۱ (G→A) : ٪۴/۲۴۳۶۳ ، IVSI - ۱ (G→T) : ٪۴/۲۴۳۶۴ ، IVSI - ۱ (G→A) : ٪۴/۲۴۳۶۵ ، IVSI - ۱ (G→T) : ٪۴/۲۴۳۶۶ ، IVSI - ۱ (G→A) : ٪۴/۲۴۳۶۷ ، IVSI - ۱ (G→T) : ٪۴/۲۴۳۶۸ ، IVSI - ۱ (G→A) : ٪۴/۲۴۳۶۹ ، IVSI - ۱ (G→T) : ٪۴/۲۴۳۷۰ ، IVSI - ۱ (G→A) : ٪۴/۲۴۳۷۱ ، IVSI - ۱ (G→T) : ٪۴/۲۴۳۷۲ ، IVSI - ۱ (G→A) : ٪۴/۲۴۳۷۳ ، IVSI - ۱ (G→T) : ٪۴/۲۴۳۷۴ ، IVSI - ۱ (G→A) : ٪۴/۲۴۳۷۵ ، IVSI - ۱ (G→T) : ٪۴/۲۴۳۷۶ ، IVSI - ۱ (G→A) : ٪۴/۲۴۳۷۷ ، IVSI - ۱ (G→T) : ٪۴/۲۴۳۷۸ ، IVSI - ۱ (G→A) : ٪۴/۲۴۳۷۹ ، IVSI - ۱ (G→T) : ٪۴/۲۴۳۸۰ ، IVSI - ۱ (G→A) : ٪۴/۲۴۳۸۱ ، IVSI - ۱ (G→T) : ٪۴/۲۴۳۸۲ ، IVSI - ۱ (G→A) : ٪۴/۲۴۳۸۳ ، IVSI - ۱ (G→T) : ٪۴/۲۴۳۸۴ ، IVSI - ۱ (G

تکثیر شده به طول ۶۳۳ جفت باز مربوط به IVSII-۱. در هر یک از افراد مبتلا به بیماری بتا-تالاسمی حذف حداقل یک نوار را انتظار داریم که در مقایسه با اندازه مارکر، نوار حذف شده و نهایتاً جهش یا جهش های مربوطه تشخیص داده می شوند. در حالتی که فرد مبتلا نوار مجزا را نشان بدده، بدین معنی است که جهش حداقل در یکی از ۳ آلل موتانت ذکر شده که طول تقریباً یکسانی دارند، اتفاق افتاده است. بنابراین، جمیت تشخیص این نوع جهش باید تک ۳ پرایمر فوق را به طور مجزا با روش PCR-ARMS دوباره آزمایش کرد (تصویر ۱). در طی واکنش PCR چندگانه با به کارگیری آغازگرهای موتانت در فرد طبیعی نباید هیچ نواری مشاهده شود (تصویر ۲).



**تصویر ۱:** الکتروفورز محصولات PCR و ARMS-PCR چندگانه: ازپایین به بالا چاهک (۱) DNA Ladder ، چاهک های ۲ الی ۶ آمپلیکان های تکثیر شده با پرایمرهای طبیعی طی واکنش PCR چندگانه، در ردیف چاهک های ۳ و ۴ و ۵ و ۶ چهار نوار مشاهده می شود. نوار اول نظر نوار ۲۱۳ bp ، نوار دوم نظر نوارهای ۲۷۹ و ۲۸۰ bp و ۲۸۴ bp، نوار سوم نظر نوار ۳۸۹ bp و نوار چهارم، که سنگین ترین قطعه است، نظر نوار ۶۳۳ از DNA Ladder است که به ترتیب بیانگر جایگاه آللی نظری  $\text{frame shift}$   $\frac{8}{9}$  IVSI - ۵ - IVSI - ۱ و بعد از آن ۱۱۰ - IVSI و در آخر ۱ IVSII-۱ هستند. چاهک های ۷-۱۰ مربوط به PCR-ARMS همان آلل ها هستند.



**تصویر ۲:** انجام PCR چندگانه در مجاورت ARMS PCR با آلل های موتانت و طبیعی: نمونه شماره ۸ مطالعه کور از یک بیمار مأذور بوده است که ۵ IVSI-۱۱۰ شناسایی می شود.

برنامه زیر انجام شد: ۹۳ درجه سانتیگراد به مدت یک دقیقه، ۶۵ درجه سانتیگراد به مدت ۱ دقیقه و ۷۲ درجه سانتیگراد به مدت ۵ دقیقه. محصول نهایی در انتهای به مدت یک دقیقه در دمای ۷۷ درجه سانتیگراد و به مدت ۳ دقیقه در دمای ۷۲ درجه سانتیگراد قرار گرفت. محصول واکنش در دمای یخچال نگهداری شد. همچنین نمونه ها به روش ARMS-PCR مورد مطالعه قرار گرفتند. در این روش برای هر نمونه ۶ واکنش مستقل PCR و هر واکنش با استفاده از یک پرایمر طبیعی یا موتانت به همراه یک پرایمر مشترک انجام شد و وجود یا عدم وجود یک آلل در هر واکنش مورد مطالعه قرار گرفت. از هر یک از پرایمرها به مقدار ۵ پیکو مول مورد استفاده قرار گرفت. غلظت سایر مواد مورد استفاده در هر واکنش و سایر شرایط همانند روش PCR چندگانه بود. محصول حاصل از دو نوع PCR مذکور از طریق الکتروفورز بر روی ژل آکارز  $\frac{3}{3}$  و با استفاده از سیستم مستند سازی UVP مجهز به نرم افزار UVP-Labworks مورد مطالعه قرار گرفت.

در مطالعه نمونه ها به روش لکه گذاری نقطه ای معکوس، قطعات مورد نظر در DNA ژنومی ابتدا با استفاده از آغازگرهای عرضه شده در کیت مخصوص<sup>۱</sup> و مطابق با برنامه زیر تکثیر شد: ۹۴ درجه سانتیگراد به مدت ۲ دقیقه و متعاقب آن ۳۰ دور PCR تحت شرایط: دناتوره کردن در دمای ۹۳ درجه سانتیگراد به مدت ۱۰ ثانیه، جفت شدن پرایمرها در دمای ۵۴ درجه سانتیگراد به مدت ۱۵ ثانیه، و پلیمریزاسیون در دمای ۷۲ درجه سانتیگراد به مدت ۴۵ ثانیه و در دور آخر (سیکل ۳۰) مرحله نهایی پلیمریزاسیون در دمای ۷۲ درجه سانتیگراد به مدت ۳ دقیقه انجام و محصول در دمای یخچال نگهداری شد. جهت حصول اطمینان از تکثیر مطلوب قطعات مورد نظر از DNA الگو، قطعات حاصل برروی ژل آکارز  $\frac{3}{3}$  مورد مطالعه قرار گرفتند. در مرحله بعد، محصول PCR که توسط آغازگرهای بیوتین دار در انتهای ۵ خود نشاندار شده بود، با پرتوپ های اخصاصی آلل های موتانت و طبیعی موجود بر روی نوارهای آماده هیرید شد و محل هیریداسیون با استفاده از آنزیم آکالان فسفاتاز متصل به زنجیره استرپتوآبیدین<sup>۲</sup> قابل رؤیت شد. با اضافه کردن سوپرسترای آنزیم واکشن رنگی به صورت خط ارغوانی رنگ بر روی نوار ظاهر می شود. با قرار دادن نوارهای خشک شده فوق در کار نوار راهنمای وضعیت آللی نمونه ها، از نظر طبیعی و مأذور و یا میشور بودن برای بیش از ۱۵ نوع جهش مشخص شد.

### یافته ها

در PCR چندگانه شش جفت پرایمر طبیعی در هر واکنش مورد استفاده قرار می گیرد و اصولاً باید ۶ نوار مجزا مشاهده شود. ولی از آنجا که قدرت تفکیک ژل آکارز حداقل تا ۱۰۰ bp است، آمپلیکان های مربوط به کدون ۱، ۳، ۰ IVSI-۱ و ۵ IVSI-۵ که به ترتیب به طول ۲۸۴ جفت باز، ۲۸۰ جفت باز، ۲۷۳ جفت باز هستند، نمی توانند از هم تفکیک شوند و این ۳ آمپلیکان جایگاه یکسانی را در ژل اشغال کرده و بر روی هم می افتد. به همین دلیل، در کل، چهار نوار قابل مشاهده خواهد بود که به ترتیب عبارتند از: ۸/۹ frameshift به طول ۲۱۳ bp جفت باز، آمپلیکان های مربوط به کدون ۳، ۰ IVSI-۱ و ۵ IVSI-۵ به ترتیب به طول های ۲۸۰، ۲۷۳ و ۲۸۴ جفت باز که به صورت یک نوار ظاهر می شوند، سومین نوار مربوط به ۱۱۰ IVSI-۱ به طول ۳۸۹ جفت باز و سنگین ترین زنجیره

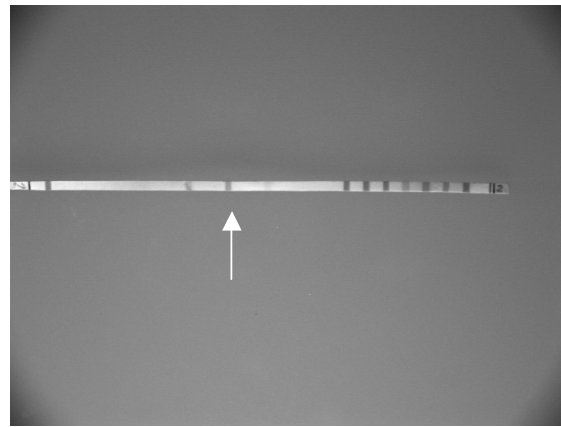
گرفتند. جدول ۱ نتایج حاصل از غربالگری انجام شده را نشان می‌دهد. همان گونه در جدول ملاحظه می‌شود، ۱ IVSII-۱ و ۱ IVSI- به ترتیب با فراوانی ۶٪ و ۲۲٪ بیشترین شیوع را دارند. در کل، از بیش از ۱۰۰ نفر جهت استخراج DNA خونگیری

فراوانی جهش	تعداد کروموزوم ها	نوع جهش
% ۲۲	۴۸	IVS II-۱
% ۲۲/۶۷	۳۴	IVS I-۱
% ۱۸/۶۷	۲۸	SHIFT FRAME-۸/۹
% ۱۶	۲۴	IVS I-۱۱۰
% ۵/۳۴	۸	CODONE-۳۰
% ۲/۶	۴	IVS I-۵

به عمل آمد. از تعداد ۲۵ نمونه اخذ شده به علل مختلف امکان استفاده فراهم نشد و مجموعاً ۷۵ نمونه به روش های ذکر شده مورد مطالعه قرار گرفتند.

جدول ۱: بررسی نتایج بر اساس نوع جهش ها و فراوانی آنها

عدم روئیت نوار در مورد PCR-ARMS با پرایمرهای موتانت بیانگر عدم تکثیر توالی مورد نظر، یعنی عدم حضور ترادف جهش یافته مورد انتظار در نمونه است. بالعکس وجود نوار جهش در آن جایگاه را برای آن‌آلل اثبات می‌کند.



تصویر ۳: نوار آماده شده با روش لکه گذاری نقطه ای معکوس. تصویر مربوط به یکی از نمونه های مورد مطالعه به صورت مطالعه کور نمایش داده شده است. نوع جهش در این نمونه ۵ - IVS1 و فرد مورد آزمایش هتروزیگوت تشخیص داده شد.

تفسیر و خواندن نوارها: جهت مشخص کردن ژنوتیپ نمونه مورد نظر بر روی نوار باید الگوی نوار راهنمای الگوی مربوط به نوار هر آزمایش مقایسه و با مقابله هم قرار دادن جایگاه ها امکان خواندن نوارها فراهم شود. در بالا و پایین هر نوار به ترتیب او ۲ خط چاپ شده تیره رنگ جهت مشخص کردن سر و ته نوار وجود دارد که می باید بر روی همان خطوط در الگوی راهنمای قرار گیرد. اولین نوار از بالا کترل (+) است که در تمامی نمونه ها باید رنگی شده باشد که حاکی از صحت انجام کار است. وجود یا عدم وجود رنگی در مقابل جایگاه هر آلل به ترتیب بیانگر وجود یا عدم وجود آن نوع آلل در بیمار خواهد بود.

از آنجا که دو رشته پروب (یک رشته برای آمپلیکان های طبیعی و سری دیگر برای آمپلیکان های موتانت) بر روی نوار تعییه شده است، برای هر واکنش PCR و هر نمونه DNA مورد آزمایش، سه حالت زیربرای هر جایگاه آللی امکان پذیر است: ۱) فقط پروب های طبیعی رنگ زایی داشته باشند. ۲) هم جایگاه پروب های طبیعی و هم جایگاه پروب های موتانت رنگ زایی داشته باشند. ۳) در محل یک یا چند آلل فقط پروب موتانت رنگ زایی داشته و جای آلل طبیعی آن خالی (بدون رنگ زایی) باشد. حالت اول نشان دهنده ژنوتیپ طبیعی (وحشی) و حالت دوم نشان دهنده ژنوتیپ هتروزیگوت برای آن آلل و یا آلل ها (مینور) و حالت سوم نشان دهنده ژنوتیپ هموزیگوت موتانت برای آن آلل است (فرد مادر و مبتلا) (تصویر ۳).

در این مطالعه بیش از ۸۰ نفر از ۳۷ خانواده غیر همخون انتخاب شدند، به این معنی که از هر خانواده ۱-۳ نفر مبتلا یا ناقل که در مجموع ۱۵۰ کروموزم را تشکیل می دادند، مورد مطالعه قرار

بحث و نتیجه گیری

روش PCR چندگانه، که در این مطالعه مورد استفاده قرار گرفت، با استفاده از حدود ۵/۰-۳/۰ میلی گرم از DNA ژنوم انسانی قابل انجام است. این میزان از DNA الگو را به سادگی می توان از هر بیمار به دست آورد. استفاده از مقادیر کمتر DNA الگو احتمال جواب منفی کاذب را بیشتر می کند. مطالعه نتایج حاصل از تکثیر قطعات مورد نظر DNA استخراج شده از نمونه ها به طریق الکتروفورز مخصوص PCR بر روی ژل آکارز و مشاهده نوارهای DNA حاصل بر روی ژل به وسیله نور فرابینکس قطعاتی می گیرد. با توجه به قدرت تمایز این روش از الکتروفورز قطعاتی از DNA که طول شان در حدود ۱۰۰ جفت باز از هم متفاوت است، قابل تمایز خواهد بود. استفاده از ژل پلی اکریل آمید و رنگ آمیزی توسط نیترات نقره قدرت تمایز را می تواند تا حدودی افزایش دهد. ولی در مطالعه حاضر تقاضت طول قطعات DNA نزدیک به هم (آمپلیکان های کدون ۱، ۲۰ و ۵- IVSI) در حدود ۱۰ جفت باز کمتر بود. به کارگیری روش فوق تفاوتی در دقت مطالعات به وجود نمی آورد. به کارگیری کترل مثبت و منفی تفسیر نتایج کاذب راساده تر می کند. ولی دقت روش را تغییر نمی دهد.

روش لکه گذاری نقطه ای معکوس استفاده شده در این مطالعه اساساً تقاضت چندانی با روش PCR چند گانه ندارد، ولی دقت و تکرار پذیری روش لکه گذاری نقطه ای معکوس بیشتر است. زیرا بر روی هر نوار پروب های اختصاصی آلل های طبیعی و موتانت، هر دو، وجود دارد و طبیعی یا موتانت بودن هر آلل به دو طریق اثبات می شود.

همچنین نتایج حاصل از این تحقیق با مطالعه دیگری که بررسی بیماران برخی نواحی دیگر کشور انجام شده است، مطابقت دارد. بر اساس نتایج گزارش شده از این مطالعه (۱۰)، جهش ۱- IVSII- شایع ترین جهش به خصوص در استانهای شمالی کشور شناخته شده است. جهش در ۵ IVSI- و ۸/۹ frame shift در مراتب بعدی قرار دارند.

تحقیق انجام شده در این مرکز همپوشانی خوبی را با گزارش منتشر شده درباره تعدادی از مهاجران ایرانی به آمریکا نشان می دهد. در این گزارش که درباره بیماران بتا- تالاسمی وابسته به انتقال خون با قومیت ایرانی و مهاجر در ایالات متحده انجام شده است، در تنواع جهش‌ها و فاصله بین جهش‌های شایع تشابه واضحی وجود دارد (۱). به نظر می‌رسد که آذربایجان در سالیان گذشته از آنجا که پل ارتباطی بین دو قاره عمدۀ جهان و مسیر تجاری مهم از آسیای میانه به اروپا و ترکیه و عربستان بوده (۸-۱۲)، تعیین الگوی فراوانی دقیق تری از جهش‌های متنوع پراکنده در آذربایجان مستلزم انجام تحقیقات جامع تری است که حجم نمونه بالاتر و روش‌های متنوع تری را در برگیرد. شناسایی آل‌های شایع منطقه‌ای گامی بسیار ضروری در پیشگیری از بیماری بتا- تالاسمی است. در این مطالعه شایع ترین آل‌های قابل شناسایی در افراد مبتلا به بیماری فوق مد نظر قرار گرفته، لیکن بررسی فرآگیرتر با استفاده از تعداد نمونه‌های بیشتر در جهت تکمیل نتایج و مطالعه سایر انواع جهش‌های مربوط به ژن بتا- گلوبین ضروری به نظر می‌رسد.

### تقدیر و تشکر

این مطالعه از محل اعتبارات دانشکده پزشکی دانشگاه علوم پزشکی تبریز به انجام رسیده است. بخشنی از مواد مورد استفاده در این تحقیق از سوی «آزمایشگاه ژنتیک جهاد دانشگاهی تبریز» تأمین شده است که بدین وسیله مراتب سپاس و تقدیر خود را اعلام می‌داریم.

هرنوار دارای پروب کترول مثبت داخلی است که از طریق آن می‌توان از صحت هیبریداسیون اطمینان حاصل کرد. همچنین محصولات PCR قبل از هیبرید شدن با نوار، روی ژل آگارز الکتروفورز می‌شوند و در صورت وجود نوارهای DNA مورد نظر، روند ادامه می‌یابد. این روند موجب می‌شود که جواب‌های منفی کاذب به حداقل ممکن برسد. در مقابل، قیمت بالای تمام شده برای موتانت بر حسب جمعیت و منطقه جغرافیایی مواردی هستند که استفاده از این روش را محدود می‌سازند (۳، ۹ و ۱۰).

اگرچه حالت هتروزیگوتوی بتا- تالاسمی بیماری مینور ایجاد می‌کند، ولی تظاهرات علامتدار در تعدادی از افراد دارای ژنوتیپ  $\beta^0/\beta^+$  ملاحظه می‌شود که در این مطالعه نیز چنین است. به نظر می‌رسد که این گونه افراد برای ژن  $\beta^0$  و بتای خاموش حالت هتروزیگوت دوگانه داشته باشند. به این معنی که والدین دچار بتا- تالاسمی مینور و بتا- تالاسمی خاموش توأم با شاخص‌های هماتوولوژیک طبیعی باشند (۴).

نتایج حاصل از این مطالعه نشان می‌دهد که الگوی پراکنده‌گی جهش‌ها در بخش مرکزی استان آذربایجان شرقی شباهت بیشتری با توزیع انواع این جهش‌ها در نوار مدیرانه‌ای دریای سیاه و تفاوتی روشن با جهش‌های مربوط به آسیای جنوب شرقی، چین و سیاچپستان دارد (۹-۱۸).

تفاوت بارزی از نظر الگوی آللی جهش‌ها بین نتایج حاصل از این تحقیق با برخی از گزارش‌ها نظیر تحقیقات انجام شده در استانهای فارس و خراسان دیده می‌شود. تفاوت عمدۀ در الگوی آلل‌هاست تا درصد فراوانی‌ها؛ به عنوان مثال، در تحقیق انجام شده در منطقه جنوب غرب کشور، ۱ - IVSII با فراوانی ۳۱٪ گزارش شده است که با فراوانی ۳۲٪ در این منطقه همخوانی دارد. ولی سایر جهش‌های رایج شناخته شده در آن منطقه متفاوت از جهش‌های شناخته شده در این تحقیق بودند که می‌تواند بیانگر این مطلب باشد که تنوع آللی جهش‌ها شاخص مهم تری نسبت به پراکنش فراوانی‌ها در بررسی جهش‌های بتا- تالاسمی در ایران است (۱، ۷ و ۸).

## References

1. Incerm I, Cochin C. Sequence Polymorphisms of Potential Functional Relevance in the  $\beta$ - Globin Gene Locus. Hemoglobin, 1996; 20 : 85-101.
2. New South Wales Health Department [Editorial]: Mothers and Babies 1998, NSW Pub Health Bullet Supplement 2000, February; 1:19-20.
3. Cheung MC, Goldberg JD, Waikany. Prenatal diagnosis of sickle cell anaemia and thalassaemia by analysis of fetal cells in maternal blood. Nature genetics, 1996; 14 : 264 – 68
4. Ballas SK, Cai Sh, Gabuzda T, Farid F. Molecular Basis of Asymptomatic  $\beta$ - Thalassemia Major in an African- American Individual. Am. J. Med. Genet., 1997 ;69: 196 – 199.
5. Mahmoudi F, Zeinali S, Merat A, Delmaghani S, Mostafavipour K, ghaddam Z et al. The Molecular Basis of  $\beta$ - Thalassemia mutation in Fars province IRAN. Iran. J. Med. Sciences, 1996; 21 (384): 99 – 103.
6. Suhaib A, Mary p, Mohammad S. Molecular genetics of  $\beta$ - Thalassaemia in Pakistan. A basis for prenatal diagnosis. B.J. hemat., 1996; 94: 476- 482.
7. Xu X, liao C, Liu Z, Huang Y, Zhang J, Li J et al. Antenatal Screening and fetal diagnosis of  $\beta$  – thalassemia in a Chinese population: Prevalence of the trait in the Guangzhou area of China. Hum. Genet., 1996;98: 199-202.
8. Sutcharichan P, Saki R, Fucharoen S, Winchagoon P, Erlich H et al. Reverse Dot-blot Detection of Thai  $\beta$ - thalassaemia mutations. B J of haematology, 1995; 95 : 809-16.

9. Sutcharichan P, Saki R, Huisman THJ, Kutler A, McKie V, Erlich H et al. Reverse Dot Blot detection of African –American  $\beta$ -thalassemia mutations. Blood, 1995; 86 (4): 1580-85.
10. Najmabadi H, Karimi-Nejad R, Sahebjam S, Pourfarzad F, Teimourian S, Sahebjam F, Amirizadeh N, Karimi-Nejad MH. The beta-thalassaemia mutation spectrum in the Iranian population. Hemoglobin; 2001, 25(2):285-96.
11. Old JM, Varawalla NY, Weatherall DJ. Rapid detection and prenatal diagnosis of  $\beta$ -thalassaemia; studies In indian and Cyriot population in UK. Lancet 1990, 336: 834-37.
12. Growth J, lu, JM, Huang JM, Chen JT, liu HJ, Chang CP. Rapid diagnosis Of  $\beta$ -thalassaemia by Mutagenically Separated Polymerase Chain Reaction (MS-PCR) and Its Application to Prenatal Diagnosis. B J of Haematology, 1995; 91: 602-7.
13. Varawalla Ny, Old JM, Sakar R, Venkatesan R, Weatherall DJ. The spectrum of  $\beta$ - thalassemia mutations on the Indian subcontinent: the basis for prenatal diagnosis. B J of Hematology, 1991; 78: 242 – 247
14. Tadmouri GO, Bilenoglu O, Kantarci S, Kayserili H, Perrin P Basak AN. A rare mutation (IVS I-130 G→A) in a Turkish  $\beta$ -thalassemia major Patient. Am. J of Hematology, 2000; 63: 223-225.
15. Varawalla Ny, Old JM, Weatherall DJ. Rare  $\beta$ -thalassaemia Mutation in Asian Indians. B J of Haematology, 1991; 79: 640-44.
16. Nozari G, Rahbar S, Golshaiyzan A, Rahmazadeh S. Molecular Analyses of  $\beta$ - Thalassemia in Iran. Hemoglobin, 1995; 19 (6) : 425-430.
17. Rolan A, Gutierrez M, Cygler A, Bonduel M, Sciuiccati G et al. Molecular characterization of  $\beta$ -thalassaemia genes in an Argentine population. Am. J. of hematology, 1997; 54:179 – 182.
18. Schü rer C, Chih-ping C. Prenatal and molecular diagnosis of beta- thalassemia major in Taiwan . Int. J. of Gyn. & Obes. (2000); 69:103-6.